

酿酒白葡萄品种的 SSR 分析与鉴定

成冰, 张京芳*, 马正强, 王月晖, 张贝贝

(西北农林科技大学 林学院, 陕西 杨陵 712100)

摘要:利用筛选出的 14 对引物对 13 个酿酒白葡萄品种进行 SSR 分析与鉴定,共扩增出 312 个条带,多态性条带共 283 个(多态性条带率为 90.71%),特异性条带共 78 个(特异性条带率为 25.00%);13 个品种均有特征性引物,二号白香和雷司令有 5 个特征性引物;VrZAG79 条带总数、多态性条带和特异性条带均为最多(是 7 个品种的特征性引物),且所有品种的遗传差异性较大;14 对引物的鉴别效率为 15.38%(VVMD5)~100%(VrZAG62, VVIb66),即 VrZAG62, VVIb66 可分别鉴定该 13 个酿酒白葡萄品种且每个引物的鉴别效率差异很大。

关键词:葡萄酒;葡萄品种;SSR

中图分类号:S663.1

文献标志码:A

文章编号:1001-7461(2014)-02-0103-04

SSR Analysis and Identification of Grape Cultivars for Making White Wine

CHENG Bing, ZHANG Jing-fang*, MA Zheng-qiang, WANG Yue-hui, ZHANG Bei-bei

(College of Forestry, Northwest A&F University, Yangling, Shaanxi 712100, China)

Abstract: Fourteen SSR primers screened were adopted to identify 13 grape cultivars used to make white wine. Three hundreds and twelve bands were altogether obtained from the amplification, including 283 polymorphic bands (90.71%) and 78 specific bands (25.00%). All the 13 cultivars maintained specific primers. For the cultivars *Yarly Madeleine* and *Riesling*, there were five specific primers each. Among 14 primers, VrZAG79, which was the specific primer for seven cultivars, owned more total bands, polymorphic bands and specific bands, indicating large difference among different cultivars. The identification efficiency of 13 cultivars ranged between 15.38% (VVMD5)~100% (VrZAG62, VVIb66). Large difference was shown among different cultivars and two primers (VrZAG62, VVIb66) could identify all the cultivars respectively.

Key words: wine; grape; SSR

葡萄富含糖、有机酸、维生素、矿物质和氨基酸等,具有抗氧化延缓衰老、预防心脑血管疾病、补益和兴奋大脑神经等多种保健功能^[1-2]。生产优质葡萄酒,首先要有优良葡萄品种,其次是良好的环境条件^[3]。因此,酿酒葡萄育种是葡萄酒产业中一项重要内容。葡萄历史悠久,长期的地理条件、自然气候和选育杂交等,形成了极丰富的品种资源,但其造成很多同名异物,同物异名的现象,导致鉴定葡萄品种比较困难^[4-5]。目前,品种鉴定的方法有多种,以

分子标记技术为基础的 DNA 指纹鉴定(RFLP, RAPD, AFLP, SSR, ISSR 等)技术因其准确可靠、简单快捷等优点,应用较多^[4,6-7]。在多种分子标记方法中,SSR 在基因组中分布广泛,重复性高,多态性丰富,且对 DNA 质量要求较低,适于检测大量群体,是检测技术中较好的方法^[8-10]。本研究利用 14 种 SSR 引物对 13 个酿酒葡萄品种进行品种鉴定,以为葡萄育种工作提供参考。

收稿日期:2013-06-02 修回日期:2013-09-23

基金项目:公益性行业(农业)科研专项(200903043)。

作者简介:成冰,女,硕士研究生,研究方向:果蔬深加工及综合利用。E-mail:blithe0404@hotmail.com

*通信作者:张京芳,女,教授,理学博士,研究方向:食品资源营养及功能活性物质。E-mail:z_jf008@163.com

1 材料与方法

1.1 DNA 的提取

2012年5月于新疆玛纳斯县中信国安葡萄酒有限公司资源圃手工采摘13个酿酒葡萄的嫩叶,该品种及代码为:1.霞多丽(*Chardonnay*),2.雷司令(*Riesling*),3.白玉霓(*Ugni Blanc*),4.鸽笼白(*Colombard*),5.米勒(*Muller Thurgau*),6.和田红(*Hetianhong*),7.长相思(*Sauvignon Blanc*),8.琼瑶浆(*Traminer*),9.赛美容(*Semillon*),10.爱格丽(*Ecolly*),11.阿沙捷尼(*AzaTeHi*)12.白比诺(*Pinot Blanc*),13.二号白香(*Yarly Madeleine*)。根据Lodhi的CATB法(略有改进)提取基因组DNA,利用琼脂糖凝胶(0.8%)与核酸检测仪检测DNA质量、浓度与纯度,并将DNA样品浓度稀释至30 ng/ μ L备用。

1.2 SSR 引物及 PCR 反应

本研究筛选出14种引物,引物序列如表1。PCR反应体系中其退火温度为VMC4C6(51 $^{\circ}$ C),VMC4D4(61 $^{\circ}$ C),VrZAG62(52 $^{\circ}$ C),VrZAG67(45 $^{\circ}$ C),VrZAG79(52 $^{\circ}$ C),VVIb01(57 $^{\circ}$ C),VVIb66(57 $^{\circ}$ C),VVIi51(57 $^{\circ}$ C),VVMD5(45 $^{\circ}$ C),VVMD7(52 $^{\circ}$ C),VVMD27(54 $^{\circ}$ C),VVMD36(56 $^{\circ}$ C),VVS2(55 $^{\circ}$ C),VVS4(55 $^{\circ}$ C)。总反应体系为25 μ L,包括12.5 μ L Mix,9.5 μ L水,1 μ L引物及1 μ L DNA。反应程序为:1)95 $^{\circ}$ C,5 min;2)94 $^{\circ}$ C,5 min;退火温度,1 min;72 $^{\circ}$ C,1 min;此过程35个循环;3)72 $^{\circ}$ C,10 min。存放于4 $^{\circ}$ C保存。结果利用8%非变性聚丙烯酰胺凝胶电泳检测,银染显色,并统计条带。

2 结果与分析

2.1 SSR 引物扩增

聚丙烯酰胺凝胶电泳结果如表2,利用14引物

(表1)对13个酿酒白葡萄品种进行遗传变异分析,扩增条带为8(VMC4D4)–51(VrZAG79)个,共312个条带,条带较多的还有VrZAG62(37个)和VVIi51(34个);多态性条带为6(VMC4D4)~51(VrZAG79)个,共283个,多态性条带率为90.71%,VrZAG62、VrZAG79和VVMD5扩增的样品的多态性条带率为100%,即仅用此3个引物之一即可鉴别所有品种;特异性条带为0(VVIb66)~20(VrZAG79)个,共78个,特异性条带率为25.00%,特异性条带较多的还有VVIi51(10个)和VrZAG62(8个)。因此,VrZAG79条带总数、多态性条带和特异性条带均为最多,且所有品种的遗传差异性较大。

郝宇^[17]等利用12对引物对39个葡萄品种进行SSR分析,共扩增155条谱带,多态性带149个(占总条带的96.13%),特异性条带8个(5%)。其中VrZAG62、VrZAG67、VVS2、VVS4分别扩增出12、24、11个和16个条带。此研究的谱带、特异性谱带、VrZAG62和VVS2外的条带均低于本研究结果(VrZAG62和VVS2分别扩增出37、17个条带)。

表3为13个酿酒白葡萄品种的特征性引物。由表3可知,13个品种均有特征性引物,赛美容和鸽笼白仅有1个特征性引物,分别为VrZAG62和VVMD36,二号白香有5个特征性引物,分别是VrZAG62、VrZAG67、VrZAG79、VVMD7和VVS2,雷司令亦有5个特征性引物,分别是VrZAG67、VrZAG79、VVMD7、VVMD36和VVS2。VrZAG79为霞多丽、长相思、白玉霓、白比诺、二号白香、雷司令、琼瑶浆等7个品种的特征性引物,而VVIb01、VVMD27和VVS2仅可分别特殊标记2个品种,而VMC4D4和VVIb66扩增的所有品种均无特异性条带。

表1 SSR引物名称及序列

Table 1 Sequence of SSR primers

引物名称	引物序列(5'-3')	参考文献	
VMC4C6 ^[11]	CTCCATCCCTATCTCATCAG	CTCTAACACCCAATCTCACA	G. D. Lorenzis <i>et al.</i> (2012)
VMC4D4 ^[12]	GTCTTGTAATGGAACCAACTGC	AGATTGACCTGGACCTGAAACT	P. F. Bert <i>et al.</i> (2013)
VVIb01 ^[13]	TGACCCTCGACCTTAAATCTT	TGGTGAGTGCAATGATAGTAGA	G. Agar <i>et al.</i> (2010)
VVIb66 ^[13]	CCACTAGTGGTCAGAAAAGAAG	TTGTATTGTGTGCCTCTTCTCA	
VVIi51 ^[13]	ATCCCAAGAGAACCAAGAAACT	GCTGATCTCAGTGCATATGTTG	
VVMD5 ^[14]	CTAGAGCTACGCCAATCCAA	TATACCAAAAATCATATTCCTAAA	H. Karatas <i>et al.</i> (2007)
VVMD7 ^[14]	AGAGTTGCGGAGAACAGGAT	CGAACCTTCACACGCTTGAT	
VVMD27 ^[14]	GTACCAGATCTGAATACATCCGTAAGT	ACGGGTATAGAGCAAACGGTGT	
VrZAG62 ^[14]	GGTAAAATGGGCACCGAACACACGC	CCATGTCTCTCTCAGCTTCTCAGC	
VrZAG79 ^[14]	AGATTGTGGAGGAGGAACAAACCGR	TGCCCCATTTCAAACTCCCTCCC	
VVS2 ^[14]	CAGCCCGTAAATGTATCCATC	AAATTCAAAATTCTAATTCAACTGG	
VVS4 ^[15]	CCATCAGTGATAAAACCTAATGCC	CCCACCTTGCCCTTAGATGTTA	M. S. Grando <i>et al.</i> (2003)
VVMD36 ^[16]	TAAAAATAATAATAGGGGACACGGG	CAACTGTAAAGGTAAGACACAGTCC	J. L. Chacón <i>et al.</i> (2012)
VVMD ^[16]	ACCTGGCCGACTCCTCTGTATGC	TCCTGCCGGGATAACCAAGCTATG	

表 2 14 个 SSR 引物对 13 个酿酒白葡萄品种的扩增情况
Table 2 Amplifications of 14 pairs of SSR PRIMERS

引物	条带总数/个	多态性条带/个	特异性条带/个	条带总数/个	多态性条带率/%	特异性条带率/%
VMC4C6	11	10	3	11	90.91	27.27
VMC4D4	8	6	2	8	75.00	25.00
VrZAG62	37	37	8	37	100.00	21.62
VrZAG67	16	14	5	16	87.50	31.25
VrZAG79	51	51	20	51	100.00	39.22
VVIb01	15	13	5	15	86.67	33.33
VVIb66	13	13	0	13	100.00	0.00
VVIi51	34	31	10	34	91.18	29.41
VVMD5	13	13	3	13	100.00	23.08
VVMD7	30	28	7	30	93.33	23.33
VVMD27	22	20	2	22	90.91	9.09
VVMD36	32	24	6	32	75.00	18.75
VVS2	17	13	4	17	76.47	23.53
VVS4	13	10	3	13	76.92	23.08
总计	312	283	78	312	90.71	25.00

表 3 13 个酿酒白葡萄品种扩增的特征性引物

Table 3 Characteristic primers of 13 white wine grapes

葡萄品种	特征性引物
霞多丽	VrZAG62, VrZAG79, VVMD27
赛美容	VrZAG62
鸽笼白	VVMD36
长相思	VrZAG79, VVIb51, VVS4
白玉霓	VrZAG79, VVMD36, VVS4
白比诺	VrZAG79, VVIb01, VVMD36
二号白香	VrZAG62, VrZAG67, VrZAG79, VVMD7,
雷司令	VVS2
米 勒	VrZAG67, VrZAG79, VVMD7, VVMD36, VVS2
琼瑶浆	VVIb51, VVS4
和田红	VMC4D6, VrZAG79, VVMD7, VVMD27
阿沙捷尼	VMC4V6, VVIb01, VVMD7
爱格丽	VrZAG67, VVIb51, VVMD36
	VMC4V6, VVMD7

2.2 指纹图谱分析

由表 4 知,14 对引物的鉴别效率为 15.38% (VVMD5) - 100% (VrZAG62, VVIb66) 即 VrZAG62 和 VVIb66 可分别鉴别所有品种;鉴别效率较高有 VrZAG67, VVMD7 和 VVS4, 其均可以鉴别出 11 个样品, 而 VVMD5 仅可鉴定出 2 个品种。

表 4 14 种引物的鉴别效率

Table 4 Identification efficiency of 14 primers

引物名称	鉴别数/个	鉴别率/%
VMC4C6	10	76.92
VMC4D4	5	38.46
VrZAG62	13	100.00
VrZAG67	11	84.62
VrZAG79	9	69.23
VVIb01	3	23.08
VVIb66	13	100.00
VVIi51	8	61.54
VVMD5	2	15.38
VVMD7	11	84.62
VVMD27	7	53.85
VVMD36	10	76.92
VVS2	7	53.85
VVS4	11	84.62
平均	8	69.82

14 对引物的鉴别效率由大至小顺序为: VrZAG62, VVIb66 > VrZAG67, VVMD7, VVS4 >

VMC4C6, VVMD36 > VrZAG79 > VVIi51 > VVMD27 > VVS2 > VMC4D4 > VVIb01 > VVMD5。张淑静^[2]报道 12 对引物对 39 个葡萄品种的鉴别效率依次为 VVS4 > VrZAG67 > VrZAG62 = VVS2, 由此可见, 相同引物对不同品种的鉴别效率有差异。

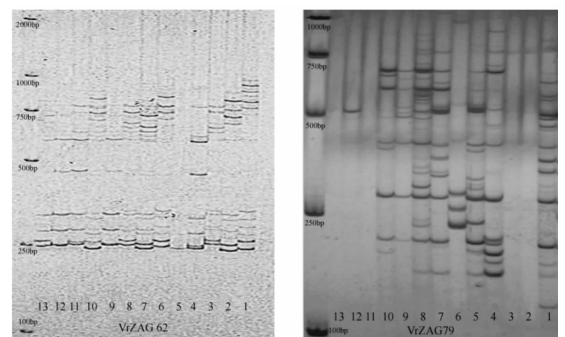


图 1 VrZAG62 与 VrZAG79 聚丙烯酰胺电泳

Fig. 1 Genomic DNA fingerprints of primer VrZAG62 and VrZAG79

3 结论与讨论

本文所选引物是借鉴前人的研究结果^[11-16]及数据库, 在 3 次筛选后选出了 14 种多态性高, 且重复性好的引物进行试验。DNA 指纹图谱分析常用的方法为特征谱带法和引物组合法^[5]。本研究首先利用特征引物区分品种, 再考虑组合法, 每个引物的鉴别效率差异很大。如 2 个引物 (VrZAG62, VVIb66) 可分别鉴定所有品种。而利用组合法也可达到相同效果, 如 2 个引物组合: VrZAG67 分别与 VMC4C6、VrZAG79、VVIb01、VVIi51、VVS2 或 VVS4 均可鉴别所有品种; VMC4C6 分别与 VrZAG79、VVMD7、VVMD36 或 VVS4 均可鉴别所有品种; VVIi51 与 VVS4 可鉴别所有品种; VVMD7 分别与 VVMD36、VVS2 或 VVS4 均可鉴

别所有品种;VVS2 与 VVS4 可鉴别所有品种。同时多个引物组合也可鉴别所有品种,如 VVMD5、VrZAG79 与 VVMD7 组合等。14 对引物对 13 个酿酒白葡萄品种进行扩增,总条带共 312 个,多态性条带率为 90.71%,共 283 个,特异性条带率为 25.00%,共 78 个。其中,VrZAG79 条带总数,多态性条带和特异性条带均为最多,且所有品种的遗传差异性较大。13 个品种均有特征性引物,VrZAG79 是 7 个品种的特征性引物,而 VMC4D4 和 VVIb66 扩增的所有品种均无特异性条带。14 对引物的鉴别效率为 15.38%(VVMD5)~100%(VrZAG62, VVIb66)。特异性条带是相对的,因此如果鉴定品种增多,应相应增加引物数量,以达到更好的鉴定效果或者利用引物组合法,从而大大提高鉴别效率。

参考文献:

- [1] 苏占胜. 宁夏酿酒葡萄产量与气象条件的关系[J]. 干旱气象, 2012, 30(1):59-65.
SU Z S. Relationship between wine grapes yield and weather conditions in Ningxia[J]. Journal of Arid Meteorology, 2012, 30(1):59-65. (in Chinese)
- [2] 张淑静. 葡萄 SSR 反应体系的建立及遗传多样性分析[D]. 河北:河北农业大学, 2008.
ZHANG S J. Establishment of SSR reaction system and analysis of genetic diversity of grape cultivars[D]. Hebei: Agricultural University of Hebei, 2008. (in Chinese)
- [3] 罗国光. 酿酒葡萄产量与质量的关系及其调控[J]. 中国果树, 1999 (2): 47-48.
LUO G G. Relationship and regulation of grape yield and quality[J]. China Fruits, 1999(2):47-48. (in Chinese)
- [4] 王姣, 刘崇怀, 樊秀彩, 等. 葡萄种类和品种鉴定技术研究进展[J]. 植物遗传资源学报, 2008, 9(3): 401-405.
WANG J, LIU C H, FAN X C, et al. Progress on identification technique of grape species and cultivars[J]. Journal of Plant Genetic Resource, 2008, 9(3): 401-405. (in Chinese)
- [5] 艾呈祥, 秦志华, 陶吉寒, 等. 32 个柿主栽品种 SSR 图谱构建及遗传变异分析[J]. 西北植物学报, 2011, 31(11): 2185-2191.
AI C X, QIN Z H, TAO J H, et al. SSR Fingerprints and genetic variations of the 32 persimmon major cultivars[J]. Acta Botanica Boreali-Occidentalia Sinica, 2011, 31(11):2185-2191. (in Chinese)
- [6] 冷翔鹏, 刘崇怀, 房经贵, 等. 巨峰葡萄系谱的 SSR 与 RAPD 分析[J]. 西北植物学报, 2011, 31(8): 1560-1566.
LENG X P, LIU C H, FANG J G, et al. Analysis of pedigree of dyoho grape vine series with SSR and RAPD [J]. Acta Botanica Boreali-Occidentalia Sinica, 2011, 31(8):1560-1566. (in Chinese)
- [7] 刘春英, 樊军锋, 高建社, 等. 杨树新杂种的 SSR 分析及鉴定[J]. 西北林学院学报 2013, 28 (2): 70-73.
LIU C Y, FAN J F, GAO J S, et al. Simple sequence repeat analysis and identification of new *populus hybrid*[J]. Journal of Northwest Forestry University, 2013, 28 (2): 70-73. (in Chinese)
- [8] 陈艺, 郭军战, 李辉, 等. 15 个果桑无性系指纹图谱的构建[J]. 西北林学院学报, 2011, 26 (6): 62-65.
CHEN Y, GUO J Z, LI H, et al. Fingerprints construction of 15 fruit mulberry (*Morus spp.*) clones[J]. Journal of Northwest Forestry University, 2011, 26(6):62-65. (in Chinese)
- [9] GORYSLAVETS S, RISOVANNA V, BACILIERI R et al. A parentage study of closely related ukrainian wine grape varieties using microsatellite markers[J]. Cytology and Genetics, 2010, 44(2):95-102.
- [10] JAHNKE G, MÁJER J, VARGA P, et al. Analysis of clones of pinots grown in hungary by SSR markers[J]. Scientia Horticulturae, 2011, 129:32-37.
- [11] LORENZIS G D, IMAZIO S, BIAGINI B, et al. Pedigree reconstruction of the Italian grapevine aglianico (*Vitis vinifera L.*) from campania[J]. Molecular Biotechnology, 2013, 54(2):634-642.
- [12] BERT P F, BORDENAVE L, DONNART M, et al. Mapping genetic loci for tolerance to lime-induced iron deficiency chlorosis in grapevine rootstocks (*Vitis sp.*) [J]. Theoretical and Applied Genetics, 2013, 126(2):451-473.
- [13] AGAR G, YILDIRIM N, ERCISLI S, et al. Determination of genetic diversity of *Vitis vinifera* cv. *kabarcik* populations from the coruh Valley using SSR markers[J]. Biochemical Genetics, 2012, 50(5/6):476-483.
- [14] KARATASA H, DEEIRMENCIB D, VELASCOC R, et al. Microsatellite fingerprinting of homonymous grapevine (*Vitis vinifera L.*) varieties in neighboring regions of South-East Turkey [J]. Scientia Horticulturae, 2007, 114(3):164-169.
- [15] GRANDO M S, BELLIN D, EDWARDS K J, et al. Molecular linkage maps of *Vitis vinifera L.* and *Vitis riparia* Mchx. [J]. Theoretical and Applied Genetics, 2003, 106(7):1213-1224.
- [16] CHACÓN J L, GARCÍA E, MARTÍNEZ J, et al. Comparison of aromatic composition of an endangered variety (*Albilla Dorada*) with other recognized aromatic varieties[J]. Vitis, 2012, 51(1):15-17.
- [17] 郝宇, 张淑静, 张世红, 等. 葡萄品种资源的 SSR 鉴定及遗传多样性分析[J]. 河北农业大学学报, 2010, 33(1):54-59.
HAO Y, ZHANG S J, ZHANG S H, et al. SSR identification and analysis of genetic diversity of grape cultivars[J]. Journal of Agricultural University of Hebei, 2010, 33(1):54-59. (in Chinese).